

Н.И. Жежера



ДАВЛЕНИЕ РАБОЧЕЙ ЖИДКОСТИ В ЩЕЛЯХ С КРИВОЛИНЕЙНЫМИ СТЕНКАМИ РЕГУЛИРУЮЩИХ КЛАПАНОВ СИСТЕМ АВТОМАТИЗАЦИИ И УПРАВЛЕНИЯ

Изложен вывод уравнений для определения давления в щелях с движущейся возвратно-поступательной стенкой регулирующих клапанов систем автоматизации и управления. Приводится теоретический анализ влияния вогнутости и выпуклости стенок щели на характер распределения давления как от стенки, так и от приложенного к границам щели перепада давления.

Сопряжения регулирующих клапанов систем автоматизации и управления представляют собой щели, находящиеся под определенным перепадом давления. Одна из стенок таких щелей обычно совершает периодическое знакопеременное движение. В работах [1,2] показано, что в плоских колеблющихся щелях возникает не только давление, превосходящее манометрическое давление в системе, но и разрежение. В настоящей работе на основе положений ламинарного течения, считая рабочую жидкость однородной и изотропной, выводятся уравнения давления в щелях с криволинейными выпуклыми и вогнутыми стенками, которые перемещаются возвратно-поступательно с определенной скоростью и ускорением перпендикулярно плоскости щели применительно к регуливающим клапанам систем автоматизации и управления.

Как известно, в теоретической гидромеханике течение вязкой несжимаемой жидкости описывается системой уравнений Навье-Стокса и уравнением неразрывности, которые в векторной форме имеют следующий вид:

$$\left. \begin{aligned} \frac{\partial \mathbf{V}}{\partial t} + \mathbf{V}(\nabla \mathbf{V}) &= \mathbf{F} - \frac{1}{\rho} \text{grad } p + \nu(\Delta \mathbf{V}), \\ \text{div } \mathbf{V} &= 0, \end{aligned} \right\} \quad (1)$$

где \mathbf{V} , \mathbf{F} , ρ , ν , p , t - соответственно скорость, массовые силы, плотность, кинематическая вязкость, давление рабочей жидкости и время;

∇ , Δ , $\text{grad } p$ - соответственно оператор Гамильтона, оператор Лапласа и градиент давления.

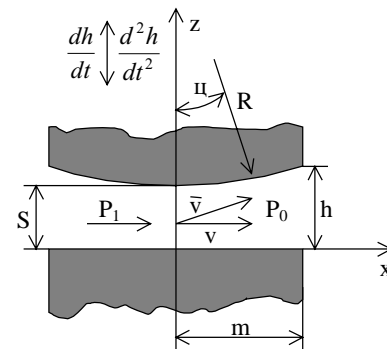


Рисунок 1 - Щель с выпуклой колеблющейся стенкой.

Изменение давления рабочей жидкости по длине щели с криволинейной стенкой (рисунок 1), движущейся возвратно-поступательно, можно представить алгебраической суммой давлений, которые возникают по длине щели от приложенного перепада давления (p_1-p_0) и давления, возникающего от движения стенки. При рассмотрении изменения давления по длине щели от перепада давления (p_1-p_0) считаем движение рабочей жидкости установившимся, а при рассмотрении влияния скорости движения стенки - неустановившимся.

Если пренебречь массовыми силами, плоскопараллельное установившееся без теплообмена движение жидкости согласно формуле (1) описывается следующими уравнениями :

$$\left. \begin{aligned} v \frac{\partial v}{\partial x} + w \frac{\partial v}{\partial z} &= -\frac{1}{\rho} \frac{\partial p}{\partial x} + \nu \left(\frac{\partial^2 v}{\partial x^2} + \frac{\partial^2 v}{\partial z^2} \right); \\ v \frac{\partial w}{\partial x} + w \frac{\partial w}{\partial z} &= -\frac{1}{\rho} \frac{\partial p}{\partial z} + \nu \left(\frac{\partial^2 w}{\partial x^2} + \frac{\partial^2 w}{\partial z^2} \right); \\ \frac{\partial v}{\partial x} + \frac{\partial w}{\partial z} &= 0. \end{aligned} \right\} \quad (2)$$

где $\int w$ - проекции скорости жидкости соответственно на ось X и Z .

Ввиду большого значения радиуса кривизны стенки щели R значениями скорости w и изменения скорости по направлению оси X можно пренебречь из-за их малости, то есть:

$$v \gg w, \quad \frac{\partial v}{\partial z} \gg \frac{\partial v}{\partial x}.$$

На основании принятых допущений система уравнений (2) принимает вид:

$$\frac{1}{\rho} \frac{\partial p}{\partial x} = v \frac{\partial^2 v}{\partial z^2}, \tag{3}$$

$$\frac{\partial v}{\partial x} + \frac{\partial w}{\partial z} = 0. \tag{4}$$

Уравнение неразрывности потока (4) остается неизменным ввиду одинакового порядка малости входящих величин.

Значение зазора h при неподвижных стенках щели можно выразить через координату X и минимальный зазор s , принимая что закругление одной из стенок происходит по окружности радиуса R . Тогда:

$$H = s + R - R \cdot \cos \Phi, \tag{5}$$

где Φ - угол между осью OZ и радиусом R , проведенным в точку на криволинейной стенке, находящуюся на расстоянии h от оси OX . При малых значениях длины щели по сравнению с кривизной стенки значение угла Φ можно выразить через отношение x/R .

Разложив функцию $\cos(x/R)$ в ряд Маклорена

$$\cos \frac{x}{R} = 1 - \frac{x^2}{2R^2} + \frac{x^4}{R^4 \cdot 4!} - \frac{x^6}{R^6 \cdot 6!} + \dots$$

и, пренебрегая членом $x^4/(4!R^4)$ и выше как малыми величинами второго порядка, из соотношения (5) получим:

$$h = s + x^2/D, \tag{6}$$

где $D = 2R$.

Интегрируя уравнение (3) по z , определив постоянные интегрирования из граничных условий $v = 0$ при $h = 0$ и $h = s + x^2/D$ и заменив $c = \mu / \nu$, получим:

$$v = \frac{1}{2\mu} \cdot \frac{\partial p}{\partial x} \left[z^2 - z \left(s + \frac{x^2}{D} \right) \right]. \tag{7}$$

Интеграл от уравнения неразрывности (4) можно представить в следующем виде /3/:

$$h = s + \frac{x^2}{D} \\ \int_0^h v \cdot dz = \text{const} = C_1. \tag{8}$$

После интегрирования уравнения (8) с учетом уравнения (7) и решения уравнения относительно скорости изменения давления получим:

$$\frac{\partial p}{\partial x} = - \frac{12\mu \cdot C_1}{\left(s + \frac{x^2}{D} \right)^3}. \tag{9}$$

Изменение давления по длине щели с криволинейной стенкой от приложенного к щели давления ($p_1 - p_0$) получим после интегрирования уравнения (9) при граничных условиях $p = p_1$ при $x = -m$, $p = p_0$ при $x = m$ в следующем виде:

$$p = p_1 - (p_1 - p_0) \cdot x \cdot \frac{\frac{m(5Ds + 3m^2)}{(Ds + m^2)^2} + \frac{x(5Ds + 3x^2)}{(Ds + x^2)^2} + \frac{\pi}{60\sqrt{Ds}} \left(\arctg \frac{m}{\sqrt{Ds}} + \arctg \frac{x}{\sqrt{Ds}} \right)}{\frac{2m(5Ds + 3m^2)}{(Ds + m^2)^2} + \frac{\pi}{30\sqrt{Ds}} \arctg \frac{m}{\sqrt{Ds}}}, \tag{10}$$

или, обозначив многочлен при ($p_1 - p_0$) через A , можно записать:

$$p = p_1 - (p_1 - p_0) \cdot A. \tag{11}$$

При движении криволинейной выпуклой стенки со скоростью dh/dt относительно плоской стенки в щели возникают дополнительные скорости рабочей жидкости и давления. Уравнение Навье-Стокса (1) для плоскопараллельного неустановившегося течения жидкости можно представить, пренебрегая как и выше инерционными силами, в следующем виде:

$$\left. \begin{aligned} \frac{\partial v}{\partial t} + v \frac{\partial v}{\partial x} + w \frac{\partial v}{\partial z} &= - \frac{1}{\rho} \cdot \frac{\partial p}{\partial x} + \nu \left(\frac{\partial^2 v}{\partial x^2} + \frac{\partial^2 v}{\partial z^2} \right); \\ \frac{\partial w}{\partial t} + v \frac{\partial w}{\partial x} + w \frac{\partial w}{\partial z} &= - \frac{1}{\rho} \cdot \frac{\partial p}{\partial z} + \nu \left(\frac{\partial^2 w}{\partial x^2} + \frac{\partial^2 w}{\partial z^2} \right) \end{aligned} \right\} \tag{12}$$

Пренебрегая ввиду малости значением скорости w и считая, что скорость v является функцией от x и z , получим:

$$\frac{\partial v}{\partial t} + v \frac{\partial v}{\partial x} = - \frac{1}{\rho} \cdot \frac{\partial p}{\partial x} + \nu \left(\frac{\partial^2 v}{\partial x^2} + \frac{\partial^2 v}{\partial z^2} \right). \tag{13}$$

Принимая, что изменение скорости жидкости по длине щели от движения стенки имеет параболический характер, с учетом уравнений (7) и (8), получим:

$$v = -\frac{6\mu C_1}{\left(s + \frac{x^2}{D}\right)^3} \left[z^2 - z \left(s + \frac{x^2}{D} \right) \right] \quad (14)$$

Постоянную C_1 можно определить из условия сохранения массы жидкости для щели единичной ширины:

$$h \cdot v_{cp} = -\frac{dh}{dt} x = C_1, \quad (15)$$

так как $ds/dt = dh/dt$. Тогда

$$v = \frac{6\mu \cdot x}{\left(s + \frac{x^2}{D}\right)^3} \left[z^2 - z \left(s + \frac{x^2}{D} \right) \right] \frac{ds}{dt} \quad (16)$$

Подставляя значения v ; $\frac{\partial v}{\partial x}$; $\frac{\partial^2 v}{\partial x^2}$; $\frac{\partial v}{\partial t}$ в формулу (13), получим:

$$\begin{aligned} \frac{\partial^2 v}{\partial z^2} = & \frac{1 \cdot \partial p}{\zeta \cdot v \cdot \partial x} + \frac{1}{v} \cdot \frac{36D^4}{(sD+x^2)^7} \left(\frac{ds}{dt} \right)^2 \left[(D^3 s - \right. \\ & \left. - 5D^2 x^2) z^4 + (8Dx^4 + 6D^2 s x^2 - 2D^3 s^2) \times \right. \\ & \left. \times z^3 + (D^3 s^3 - D^2 s^2 x^2 - 5D s x^2 - 3x^6) z^2 \right] + \frac{6D^2 x}{v(sD+x^2)^3} \times \\ & \times \left\{ \frac{d^2 s}{dt^2} [Dz^2 - (Ds+x^2)z] + \left(\frac{ds}{dt} \right)^2 \frac{D}{(Ds+x^2)} [2Ds + \right. \\ & \left. + 2x^2)z - 3Dz^2] \right\} - \\ & - \frac{12D^2 x}{(sD+x^2)^5} \frac{ds}{dt} [15Dx^2 - 9D^2 s)z^2 + 6z(D^2 s^2 - x^4)]. \end{aligned} \quad (17)$$

После двукратного интегрирования уравнения (17) по z и, определяя постоянные интегрирования из граничных условий: $v=0$ при $z=0$ и $z=s+x^2/D=h$, получим формулу для определения скорости рабочей жидкости в щели с колеблющейся стенкой в следующем виде:

$$\begin{aligned} v = & \frac{(z^2 - zh)}{2\mu} \cdot \frac{\partial p}{\partial x} + \frac{D^4 x}{v(Ds+x^2)^7} \left(\frac{ds}{dt} \right)^2 \left[\frac{6}{5} D^2 z (Ds - 5x^2) (z^5 - h^5) + \frac{18}{5} Dz \times \right. \\ & \left. \times (8x^4 + 6Dsx^2 - 2D^2 s^2) (z^4 - h^4) + 3z(D^3 s^3 - D^2 s^2 x^2 - 5Dsx^2 - 3x^6) \times \right. \end{aligned}$$

$$\begin{aligned} & \left. \times (z^3 - h^3) \right] + \frac{D^2 x}{v(Ds+x^2)^3} \left\{ \frac{d^2 s}{dt^2} \left[\frac{Dz(z^3 - h^3)}{2} - z(Ds+x^2)(z^2 - h^2) \right] + \right. \\ & \left. + 2zD(z^2 - h^2) - \frac{3zD^2(z^3 - h^3)}{2(Ds+x^2)} \right\} - \frac{D^2 x}{(Ds+x^2)^5} \frac{ds}{dt} \times \\ & \times [3zD(5x^2 - 9Ds)(z^3 - h^3) + 12z(D^2 s^2 - x^4)(z^2 - h^2)]. \end{aligned} \quad (18)$$

На основании уравнений (8) и (15) можно записать:

$$-\frac{ds}{dt} x = \int_0^{h=s+x^2/D} v \cdot dz.$$

После подстановки значения скорости из уравнения (18) в уравнение (19), интегрирования уравнения (19) по z и решения полученного выражения относительно $\frac{\partial p}{\partial x}$ получим:

$$\begin{aligned} \frac{\partial p}{\partial x} = & \frac{6\mu \cdot x(10D^2 + 3Ds + 15x^2)}{5(Ds+x^2)^3} \frac{ds}{dt} + \frac{6\rho D x}{5(Ds+x^2)} \frac{d^2 s}{dt^2} - \\ & - \frac{3\rho D^2 x(25Ds+x^2)}{35(Ds+x^2)^3} \left(\frac{ds}{dt} \right)^2 \end{aligned} \quad (20)$$

Для щелей с плоскими стенками $D \rightarrow \infty$. Исключая бесконечно малые величины, можно получить, как частный случай, скорость изменения давления и закономерность изменения давления в плоских щелях, которые приводятся в /2/.

Интегрируя уравнение (20) при граничных условиях $p=0$ при $x = \pm m$, получим:

$$\begin{aligned} p_A = & \frac{3\mu D}{5} \cdot \frac{ds}{dt} \left[\frac{5D^2 + 9Ds + 15m^2}{(Ds+m^2)^2} - \frac{5D^2 + 9Ds + 15x^2}{(Ds+x^2)^2} \right] - \frac{3\rho D^2}{70} \left(\frac{ds}{dt} \right)^2 \times \\ & \times \left[\frac{13Ds+m^2}{(Ds+m^2)^2} - \frac{13Ds+x^2}{(Ds+x^2)^2} \right] + \frac{3\rho D}{5} \frac{d^2 s}{dt^2} \ln \frac{Ds+x^2}{Ds+m^2} \end{aligned} \quad (21)$$

Полное давление в колеблющейся щели с выпуклой стенкой, согласно формулам (11) и (21), описывается следующим уравнением:

$$p = p_I - (p_I - p_0)A + p_A. \quad (22)$$

Уравнение (22) применимо также для щелей, образованных двумя выпуклыми поверхностями радиусов R_1 и R_2 . В этом случае приведенный диаметр, который необходимо подставлять в уравнение (22) можно определить по соотношению:

$$\frac{1}{D} = \frac{1}{2R_1} + \frac{1}{2R_2}. \quad (23)$$

Представляет практический интерес выяснение изменения давления в щелях, которые образованы плоской и вогнутой стенками (рисунок 2).

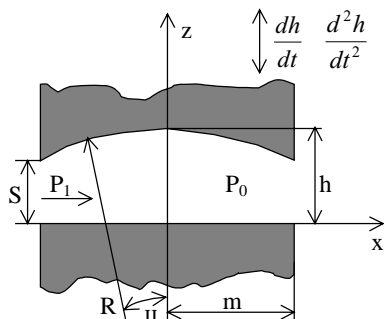


Рисунок 2 - Щель с вогнутой колеблющейся стенкой

Аналогично уравнению (6) для щелей с вогнутыми стенками можно записать:

$$h = s + \frac{m^2}{D} - \frac{x^2}{D}. \tag{24}$$

Тогда скорость изменения давления по длине щели, согласно уравнению (9), принимает следующий вид:

$$\frac{\partial p}{\partial x} = - \frac{12\mu \cdot C_1}{\left(s + \frac{m^2}{D} - \frac{x^2}{D}\right)^3}. \tag{25}$$

Интегрируя уравнение (25) при тех же граничных условиях, что и уравнение (9), получим:

$$p = p_1 - (p_1 - p_0) \cdot X$$

$$X = \frac{\frac{2\mu(5Ds+5m^2-3x^2)}{(Ds+m^2-x^2)} + \frac{2\mu(5Ds+2m^2)}{D^2s^2} + \frac{3}{\sqrt{Ds+m^2}} \ln \frac{(\sqrt{Ds+m^2}-m)(\sqrt{Ds+m^2}-x)}{(\sqrt{Ds+m^2}+m)(\sqrt{Ds+m^2}+x)}}{\frac{4\mu(5Ds+2m^2)}{D^2s^2} + \frac{3}{\sqrt{Ds+m^2}} \ln \frac{(\sqrt{Ds+m^2}-m)^2}{(\sqrt{Ds+m^2}+m)^2}} \tag{26}$$

$$\text{или} \quad p = p_1 - (p_1 - p_0) \cdot B, \tag{27}$$

где B - коэффициент при (p₁-p₀).

Для рассматриваемой щели формула (7) с учетом выражений (15) и (25) принимает следующий вид:

$$v = \frac{6\mu x}{\left(s + \frac{m^2}{D} - \frac{x^2}{D}\right)^3} \left[z^2 - z \left(s + \frac{m^2}{D} - \frac{x^2}{D} \right) \right]. \tag{28}$$

После подстановки данной скорости и производных от неё в уравнение (13) аналогично вышеизложенной методике изменение давления в колеблющейся щели с вогнутой стенкой принимает следующую зависимость:

$$p_B = \frac{3\mu D}{5} \cdot \frac{ds}{dt} \left[\frac{5D^2 - 9Ds + 6m^2}{D^2s^2} - \frac{5D^2 - 9(Ds+m^2) + 15x^2}{(Ds+m^2-x^2)^2} \right] + \frac{3\rho D^2}{70} \left(\frac{ds}{dt} \right)^2 \times \left[\frac{13(Ds+m^2)}{(Ds+m^2-x^2)^2} - \frac{13Ds+12m^2}{D^2s^2} \right] + \frac{3\rho D}{5} \cdot \frac{d^2s}{dt^2} \ln \frac{Ds+m^2-x^2}{Ds}. \tag{29}$$

Общее давление в щели, находящейся под перепадом давления, с вогнутой движущейся поступательно стенкой определяется как алгебраическая сумма давлений по формулам (27) и (29):

$$p = p_1 - (p_1 - p_0)B + p_B. \tag{30}$$

Если щель состоит из двух вогнутых криволинейно стенок, тогда в уравнение (30) вместо D необходимо подставить абсолютное значение приведенного диаметра кривизны поверхностей щели, аналогично уравнению (23).

На рисунках 3 и 4 изображены зависимости изменения давления по длине щели с выпуклой и вогнутой стенками.

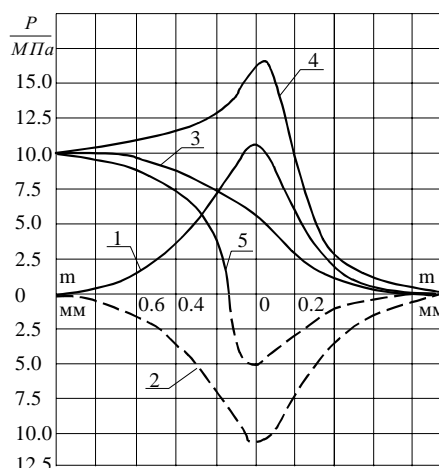


Рисунок 3 - Изменение давления рабочей жидкости по длине щели с выпуклой стенкой.

1-изменение давления от движения стенки при закрытии щели; 2-изменение разрежения от движения стенки при раскрытии щели; 3-изменение давления от приложенного перепада давлений (p₁-p₀); 4,5-полное давление при закрытии и раскрытии щели.

Кривые определены по формулам (22) и (30) при следующих значениях параметров: внешнее давление рабочей жидкости на входе в щель p_1 - 10 МПа, на выходе из щели p_0 - 0.5 МПа, вязкость минерального масла μ - $7.4 \cdot 10^{-6}$ кг·с/см² и плотность ρ - $92 \cdot 10^{-8}$ кг·с/см⁴, скорость движения стенки ds/dt - 5 см/с, длина щели $l=2m=0.2$ см, приведенный диаметр кривизны стенок щели D - 1 см, зазор в щели s - 0.001 см. Все значения параметров выбраны применительно к условиям работы регулирующих клапанов систем автоматизации и управления.

Изменения давления рабочей жидкости по длине щели с выпуклой стенкой, совершающей возвратно-поступательное движение, к границам которой приложено внешнее давление (рисунок 3), отличается от распределения давления по длине щели с вогнутой стенкой (рисунок 4). Однако в обоих типах щелей при колебании стенки имеется возможность для возникновения как положительных, так и отрицательных давлений. Наличие отрицательных давлений способствует возникновению кавитационных, заполненных паром и газом пузырьков, которые могут захлопываться на выходе из щели, попав в зону повышенного давления.

Выводы

Получены теоретические уравнения распределения давления рабочей жидкости в колеблющихся щелях с криволинейными стенками, к границам которых приложен постоянный перепад давления.

Предложена методика расчета давления в колеблющихся щелях с криволинейными стенками, которая объясняет влияния разнообразных конструктивных и эксплуатационных факторов на гидроэрозионное разрушение материалов при течении рабочих жидкостей через щели регулирующих клапанов систем автоматизации и управления.

Список использованных источников

- 1 Кочин Н.Е., Кибель И.А., Розе Н.В. Теоретическая гидромеханика.- М.: Физматгиз, 1963.
- 2 Осипов А.Ф. Давление рабочей жидкости в зазорах объемных насосов и гидромоторов. "Вестник машиностроителя", 1964, №4.
- 3 Никитин Г.А., Дихно В.И. Течение вязкой несжимаемой жидкости в конусных щелях. Гидропривод и гидропневмоавтоматика. Межвед. респ. научно-технический сборник, вып. 2, 1976.

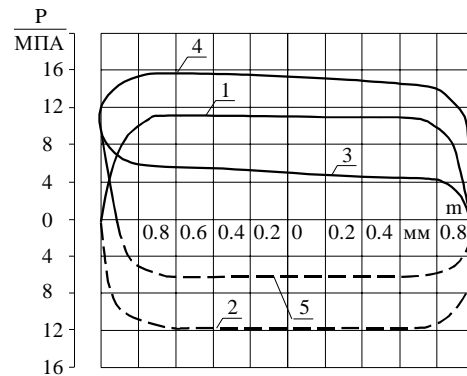


Рисунок 4 - Изменение давления рабочей жидкости по длине щели с вогнутой стенкой.

1-изменение давления от движения стенки при закрытии щели; 2- изменение разрежения от движения стенки при раскрытии щели; 3-изменение давления от приложенного перепада давления ($p_1 - p_0$); 4-полное давление при закрытии и раскрытии щели.

Все вышеизложенное позволяет теоретически обосновать возможность гидроэрозионного разрушения потоком рабочей жидкости деталей сопряжений регулирующих клапанов систем автоматизации и управления различных отраслей народного хозяйства.